

КРИСТАЛЛОГРАФИЯ В БИОЛОГИИ И МЕДИЦИНЕ

УДК 575.112

ИССЛЕДОВАНИЕ ПРЕДКРИСТАЛИЗАЦИОННОГО РАСТВОРА ЛИЗОЦИМА МЕТОДОМ УСКОРЕННОЙ МОЛЕКУЛЯРНОЙ ДИНАМИКИ

© 2023 г. А. С. Ивановский^{2,*}, И. Гарипов², Ю. В. Кордонская^{1,2}, В. И. Тимофеев^{1,2},
М. А. Марченкова^{1,2}, Ю. В. Писаревский^{2,1}, Ю. А. Дьякова¹, М. В. Ковальчук^{1,2}

¹Национальный исследовательский центр “Курчатовский институт”, Москва, Россия

²Институт кристаллографии им. А.В. Шубникова ФНИЦ “Кристаллография и фотоника РАН”, Москва, Россия

*E-mail: a.Iwanowski@gmail.com

Поступила в редакцию 20.07.2023 г.

После доработки 17.08.2023 г.

Принята к публикации 17.08.2023 г.

С помощью метода ускоренной молекулярной динамики проведено моделирование поведения димера, выделенного из кристаллической структуры тетрагонального лизоцима. Моделируемое время составило 240 нс. Проведено сравнение полученных данных с данными, полученными ранее с применением классической молекулярной динамики. Показано, что исследуемый димер стабилен в обоих экспериментах, однако метод ускоренной молекулярной динамики позволил выявить дополнительные конформационные изменения молекул лизоцима.

DOI: 10.31857/S0023476123600635, EDN: HJUXNC

ВВЕДЕНИЕ

Белки являются одними из основных макромолекул, участвующих в биологических процессах. Функции белков в живых клетках крайне многообразны. Ферменты являются катализаторами, участвующими в различных биохимических реакциях. Ряд белков имеют транспортную функцию. Один из ярких примеров таких белков – гемоглобин. Некоторые белки имеют, например, сенсорную, двигательную, опорную и другие функции. Такое многообразие функций белков определяется тем, что их трехмерные структуры также весьма многообразны. Этим определяется важность исследования пространственных структур белков, знание их структуры важно как с фундаментальной, так и с практической точки зрения.

Пространственные структуры белков помогают установить механизм их функционирования, а также могут быть использованы для разработки лекарственных средств или создания биокатализаторов с заданными свойствами [1]. Основным экспериментальным способом установления пространственных структур белков является рентгено-структурный анализ (РСА). Методом РСА установлено ~85% белков, депонированных в банк белковых данных [2]. Основным ограничением этого метода является необходимость получения достаточно совершенного кристалла белка. Несмотря на значительный прогресс последних лет, белковая кристаллизация остается весьма трудоемкой, а также в большей степени эмпирической

и наименее прогнозируемой стадией структурного исследования, направляемой результатами предыдущих попыток. Из-за доступности и простоты кристаллизации лизоцима, выделенного из куриного яйца, он часто используется как модельный объект для исследования механизмов кристаллизации белков [3]. Обнаружено [4], что в предкристаллизационном растворе лизоцима образуются его олигомеры, являющиеся прекурсорами кристаллов белка.

В исследовании процессов кристаллизации белков используется, в том числе, ряд подходов, основанных на молекулярной динамике (МД). Так, в [5, 6] оценивалось изменение свободной энергии при формировании кристаллических контактов и изменении концентрации осадителя. В [7, 8] исследовалась стабильность кристаллов белка в зависимости от концентрации и видов ионов осадителя, а также от зарядов аминокислотных остатков. В ряде работ предпринимались попытки исследования динамики решетки в кристалле белка [9]. Исследовались особенности динамики белка в кристаллическом состоянии по сравнению с раствором [10]. В [11, 12] оценивалась стабильность кластеров-прекурсоров кристаллов лизоцима и протеиназы K.

Несмотря на широкое применение подходов к изучению процессов кристаллизации белков, основанных на МД, данные подходы имеют существенное ограничение: расчет МД для сравнительно больших систем является ресурсоза-

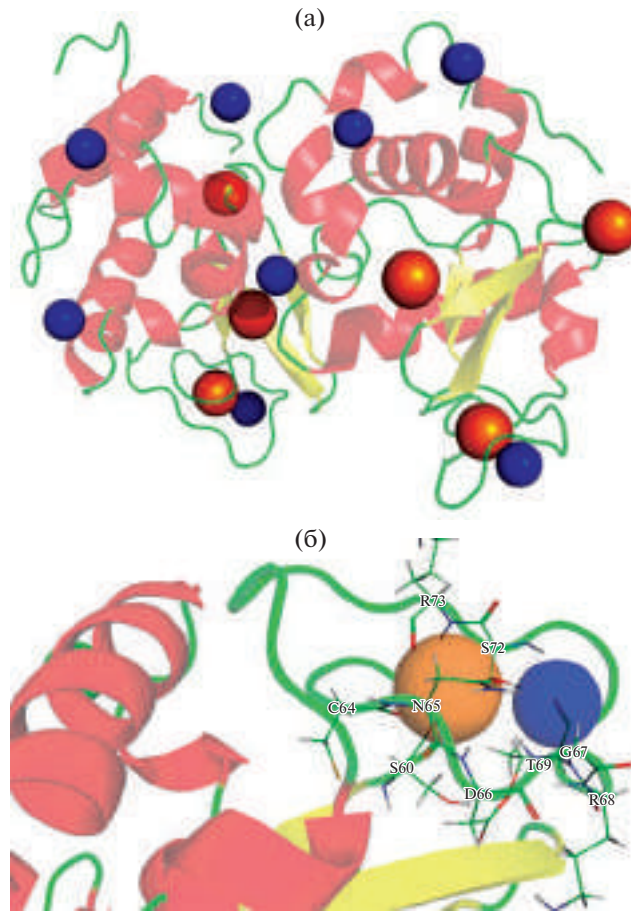


Рис. 1. Димер лизоцима, построенный как описано в [32]. α -спирали изображены красным, бета-листы – желтым, петли – зеленым цветом. Атомы натрия показаны сферами оранжевого цвета, атомы хлора – синего (а). Аминокислотные остатки подвижной петли 60–79 аминокислотного остатка молекулы лизоцима, расположенные на расстоянии не более 4 Å от соответствующих ионов натрия и хлора. Аминокислотные остатки показаны линиями, ион хлора – сферой синего цвета, ион натрия – сферой оранжевого цвета (б).

тратным. Для решения данной проблемы применяются подходы, позволяющие снизить объем расчетов. Одним из таких методов является расчет МД с неявным растворителем [13, 14]. За счет того что при таком подходе молекулы воды не за-даются отдельно, объем вычислений существен-но снижается.

Еще одним подходом, позволяющим сущес-твенно снизить объем вычислений, является так называемое крупнозернистое моделирование МД. Одним из силовых полей, в которых реализован данный метод, является силовое поле MARTINI [15]. Ускорение расчетов происходит за счет упрощения модели: четыре тяжелых атома и связанные с ними атомы водорода представлены од-ним центром взаимодействия. Данный подход широко используется для систем, содержащих липиды [16–20]. Метод ускоренной МД также

позволяет уменьшить объем расчетов. Ускорен-ная МД основана на модификации потенциала, введенной в [21]. Данная модификация снижает высоту локальных барьеров, позволяя проводить расчеты намного быстрее. Моделирование кон-формационных переходов, происходящих в мик-росекундном масштабе, сравнимо с миллисе-кундным обычным моделированием МД [22, 23].

В настоящей работе метод ускоренной МД использован для исследования стабильности димера лизоцима из предкристаллизационного раствора.

МАТЕРИАЛЫ И МЕТОДЫ

Построение начальной модели димера. Модель димера с четырьмя ионами Cl и тремя ионами Na строили, как описано в [11]. Расчет ионизационных состояний аминокислотных остатков при pH 4.5, что соответствует экспериментальным данным [24], проводили с помощью сервера PROPKA [25].

Расчет ускоренной молекулярной динамики. Подготовку системы для расчета МД проводили с использованием пакета AmberTools20 [25]. В качестве силового поля выбрали поле ff19SB [26], в качестве модели воды – модель TIP3P [28], как наиболее подходящую для использования с сило-вым полем ff19SB [27]. С использованием tleap из пакета AmberTools20 [25] были заданы дисуль-фидные связи между следующимиарами цисте-инов: 6–127, 142–263, 30–115, 166–251, 64–80, 200–216, 76–94, 212–230. В систему было добав-лено 0.4 M NaCl, а также 20 ионов Cl для нейтра-лизации заряда системы. Уравновешивание си-стемы проводили в шесть этапов. На первом ми-нимизировалась энергия только молекул воды. На атомы белка были наложены ограничения по-движенности. На втором этапе молекулы воды мог-ли свободно двигаться в стандартных условиях для температуры и давления. На третьем этапе минимизировалась энергия для молекул воды и белка. Четвертый этап представлял собой нагре-вание системы в NVT-ансамблe с наложенными на атомы белка ограничениями подвижности. Нагревание проводилось от 0 до 293 K. На пятом этапе проводили релаксацию системы в NPT-ан-самблe с наложенными на тяжелые атомы белка ограничениями. На шестом ограничения снима-лись. В качестве термостата использовали термо-стат Ланжевена [26–28], в качестве баростата – баростат Берендсена [29]. Далее проводили 1 нс МД для вычисления средних потенциальной и торсионной энергий системы для того, чтобы за-дать необходимые коэффициенты в ускоренной МД. Моделировалось 240 нс с шагом 2 фс.

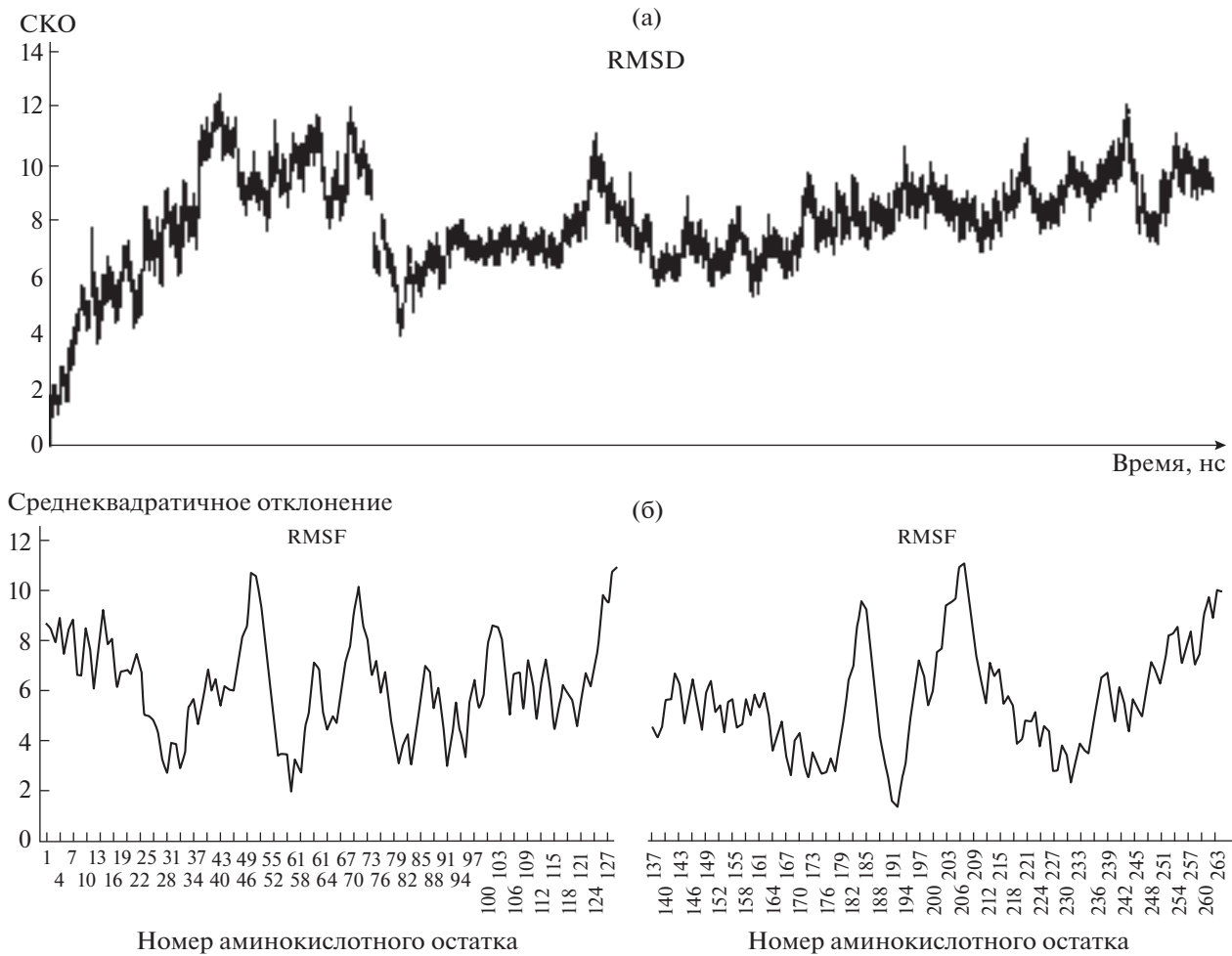


Рис. 2. СКО димера лизоцима (а); СКФ С- α -атомов димера лизоцима (б).

РЕЗУЛЬТАТЫ И ИХ ОБСУЖДЕНИЕ

Исследуемый димер лизоцима, построенный как описано в [11], изображен на рис. 1а. Данный димер содержит восемь ионов хлора и шесть ионов натрия. Отметим, что один из ионов натрия и один из ионов хлора образуют контакты с аминокислотными остатками подвижной петли 60–79 (рис. 1б). Во взаимодействия с ионами вовлечены следующие аминокислотные остатки: S60, C64, N65, D66, G67, R68, T69, S72 и R73. Можно предположить, что данные ионы участвуют в стабилизации петли 60–79 в кристалле.

Для результатов ускоренной МД с коэффициентами $ethreshd=2446$, $alphad=206$, $ethreshp=188640$, $alphap=8227$ были проанализированы зависимости среднеквадратичных отклонений (СКО) от моделируемого времени и значения среднеквадратичных флуктуаций (СКФ) С- α -атомов димера лизоцима. На рис. 2а представлен график зависимости СКО от моделируемого времени. Из сравнения с ранее полученными с использованием классической МД данными видно, что по харак-

теру обоих графиков исследуемый димер стабилен в 0.4 М растворе NaCl.

На рис. 2б представлен график СКФ С- α -атомов димера лизоцима. Значения, полученные методом ускоренной МД, отличаются от ранее полученных с использованием классической МД [30] прежде всего в районе N-конца. В [31] значения СКФ С- α -атомов для обоих мономеров в составе димера сходны, тогда как значения СКФ С- α -атомов аминокислотных остатков 1–20 различаются в 1.5–2 раза. Кроме того, различия наблюдаются в районе α -спирали 86–101. Такие результаты свидетельствуют о том, что ускоренная МД за счет увеличенного конформационного пространства позволяет более точно моделировать некоторые конформационные изменения белковых молекул, которые предположительно происходят во временном диапазоне порядка микросекунд, и может быть использована для исследования предкристаллизационных растворов белков.

ЗАКЛЮЧЕНИЕ

Метод ускоренной молекулярной динамики в применении к моделированию ранее определенного кластера-прекурсора кристаллов тетрагонального лизоцима позволил выявить ряд аспектов поведения данного кластера, не выявленного методом классической молекулярной динамики. Показано, что метод ускоренной молекулярной динамики применим к исследованию механизмов кристаллизации белков.

Работа выполнена в рамках Тематического плана НИОКР НИЦ “Курчатовский институт”.

СПИСОК ЛИТЕРАТУРЫ

1. *Timofeev V., Samygina V.* // Crystals. 2023. V. 13 (1). P. 71.
<https://doi.org/10.3390/cryst13010071>
2. <https://www.rcsb.org/stats/summary>
3. *Pusey M., Witherow W., Naumann R.* // ScienceDirect. 1988. V. 90. P. 105.
[https://doi.org/10.1016/0022-0248\(88\)90304-1](https://doi.org/10.1016/0022-0248(88)90304-1)
4. *Kovalchuk M.V., Blagov A.E., Dyakova Y.A. et al.* // Cryst. Growth Des. 2016. V. 16. № 4. P. 1792.
<https://doi.org/10.1021/acs.cgd.5b01662>
5. *Aaron Taudt, Axel Arnold, Jurgen Pleiss* // Phys. Rev. E. 2015. V. 91. 033311.
<https://doi.org/10.1103/PhysRevE.91.033311>
6. *Kordonskaya Y.V., Timofeev V.I., Dyakova Y.A. et al.* // Crystals. 2021. V. 11 (1). P. 1121.
<https://doi.org/10.3390/cryst11091121>
7. *Antonija Kuzmanic, Bojan Zagrovic* // Biophys. J. 2014. V. 106. P. 677.
<https://doi.org/10.1016/j.bpj.2013.12.022>
8. *Cerutti D.S., Trong I., Stenkamp R.E., Lybrand T.P.* // Biochemistry. 2008. V. 47–46. P. 12065.
<https://doi.org/10.1021/bi800894u>
9. *Meinholt L., Merzel F., Smith J.C.* // Phys. Rev. Lett. 2007. V. 99. 138101.
<https://doi.org/10.1103/PhysRevLett.99.138101>
10. *Cerutti D.S., Trong I., Stenkamp R.E., Lybrand T.P.* // J. Phys. Chem. B. 2009. V. 113. № 19. P. 6971.
<https://doi.org/10.1021/jp9010372>
11. *Kordonskaya Y.V., Marchenkova M.A., Timofeev V.I. et al.* // J. Biomol. Struct. Dyn. 2020 V. 39 (18). P. 7223.
<https://doi.org/10.1080/07391102.2020.1803138>
12. *Kordonskaya Y.V., Timofeev V.I., Marchenkova M.A., Konarev P.V.* // Crystals. 2022. V. 12. P. 484.
<https://doi.org/10.3390/cryst12040484>
13. *Nguyen H., Maier J., Huang H. et al.* // J. Am. Chem. Soc. 2014. V. 136 (40). P. 13959.
<https://doi.org/10.1021/ja5032776>
14. *Onufriev A.V., Case D.A.* // Annu. Rev. Biophys. 2019. V. 58. P. 275.
<https://doi.org/10.1146/annurev-biophys-052118-115325>
15. *Marrink S.J., Risselada H.J., Yefimov S. et al.* // J. Phys. Chem. B. 2007. V. 111. № 27. P. 7812.
<https://doi.org/10.1021/jp071097f>
16. *Sun F., Schroer C.F.E., Palacios C.R. et al.* // PLoS Comput. Biol. 2022. V. 16 (4). E. 1007777.
<https://doi.org/10.1371/journal.pcbi.1007777>
17. *Pezeshkian W., Marrink S.J.* // Curr. Opin. Cell Biol. 2021. V. 71. P. 103.
<https://doi.org/10.1016/j.ceb.2021.02.009>
18. *Thallmair S., Javanainen M., Fábián B. et al.* // J. Phys. Chem. 2021. V. 125. (33). P. 9537.
<https://doi.org/10.1021/acs.jpcb.1c03665>
19. *Frallicciardi J., Melcr J., Siginou P. et al.* // Nat. Commun. 2022. V. 13. P. 1605. <https://www.nature.com/articles/s41467-022-29272-x>
20. *Korotkova P.D., Shumm A.B., Vladimirov Y.A. et al.* // Journal of Surface Investigation: X-Ray, Synchrotron and Neutron Techniques. 2021. V. 15. № 4. P. 652.
21. *Hamelberg D., Mongan J., McCammon J.A.* // J. Chem. Phys. 2004. V. 120 (24). P. 11919.
<https://doi.org/10.1063/1.175565>
22. *Shaw D.E. et al.* // Science. 2010. V. 330. P. 341.
<https://doi.org/10.1126/science.1187409>
23. *Marchenkova M.A. et al.* // J. Biomol. Struct. Dyn. 2020. V. 38. № 17. P. 5159.
<https://doi.org/10.1080/07391102.2019.1696706>
24. *Dolinsky T.J. et al.* // Nucl. Acids Res. 2004. V. 32. P. W665.
<https://doi.org/10.1093/nar/gkh381>
25. *Case D.A. et al.* // J. Comput. Chem. 2005. V. 26. P. 1668.
<https://doi.org/10.1002/jcc.20290>
26. *Tian C. et al.* // J. Chem. Theory Comput. 2020. V. 16. P. 528.
<https://doi.org/10.1021/acs.jctc.9b00591>
27. *Jorgensen W.L., Chandrasekhar J., Madura J.D. et al.* // J. Chem. Phys. 1983. V. 79 (2). P. 926.
<https://doi.org/10.1063/1.445869>
28. *Allen M.P., Tildesley D.J.* // Computer simulation of liquids. New York: Oxford university press, 1991.
29. *Hoover W.G., Ladd A.J.C., Phys B.M.* // Phys. Rev. Lett. 1982. V. 48. 1818.
<https://doi.org/10.1103/PhysRevLett.48.1818>
30. *Evans D.J., Chem J.* // Chem. Phys. 1983. V. 77 (1). P. 63.
[https://doi.org/10.1016/0301-0104\(83\)85065-4](https://doi.org/10.1016/0301-0104(83)85065-4)
31. *Berendsen H.J.C. et al.* // J. Chem. Phys. 1984. V. 81. P. 3684.
<https://doi.org/10.1063/1.448118>
32. *Kordonskaya Y.V., Timofeev V.I., Dyakova Y.A. et al.* // Crystals. 2021. V. 11. P. 1534.
<https://doi.org/10.3390/cryst11121534>